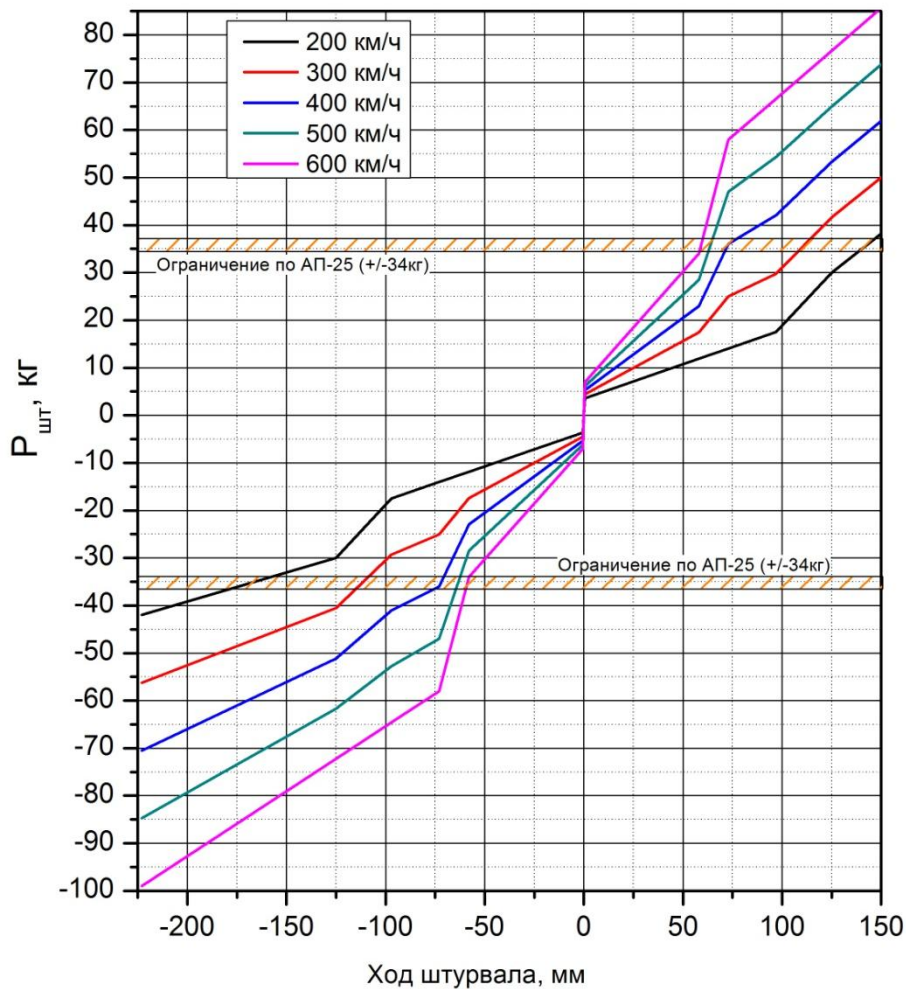


Модернизация системы управления ИЛ-76МД-90А

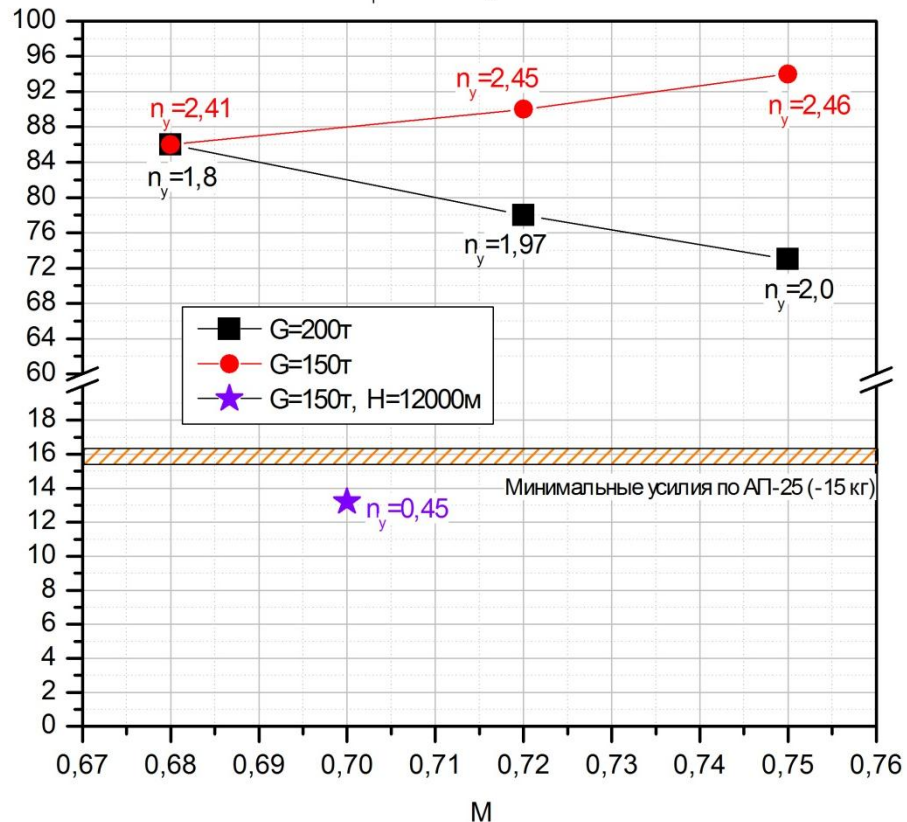


Соответствие загрузочных характеристик требованиям АП-25

Загрузочная характеристика штурвала

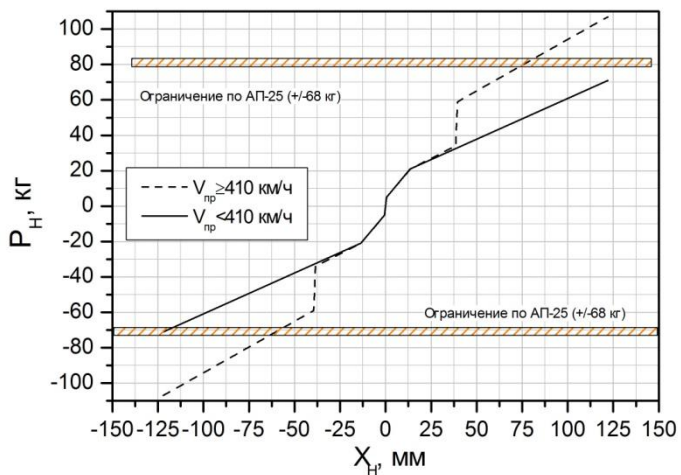
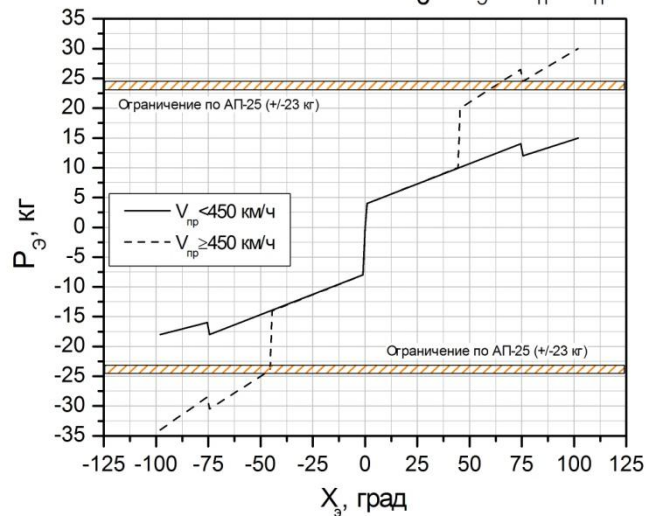


Усилия, ограниченные $\alpha_{доп}$
 $X_T = 15\%CAH$, $H = 8000\text{м}$

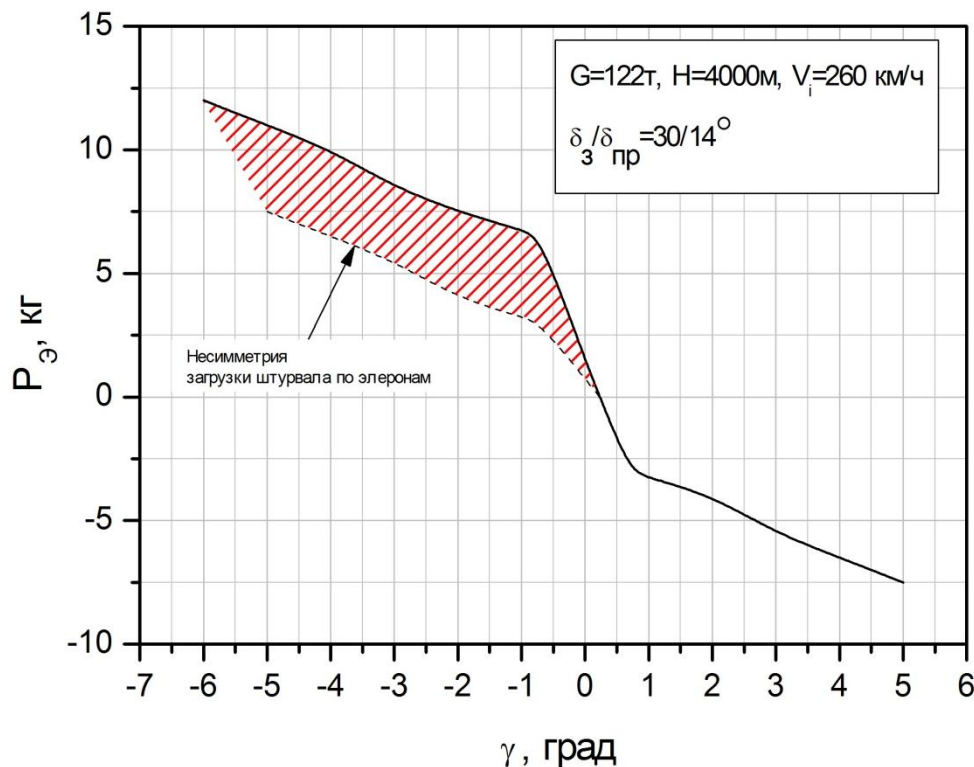


Соответствие загрузочных характеристик требованиям АП-25

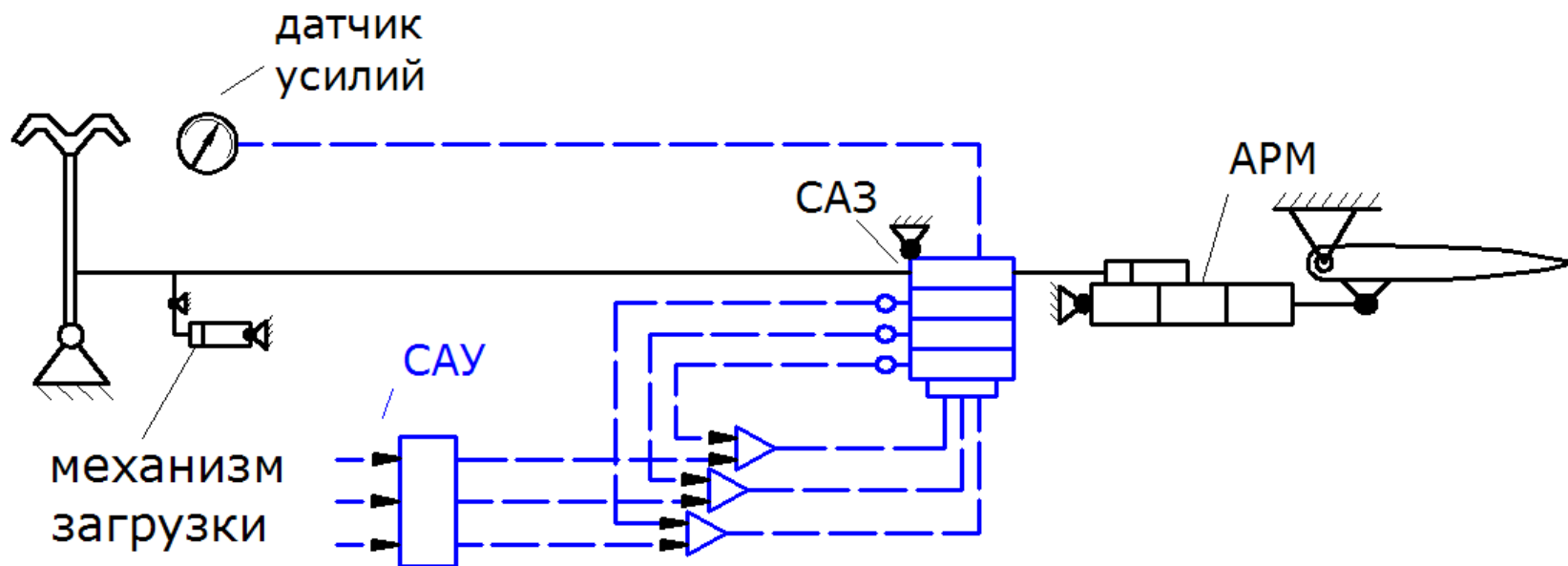
Загрузочные характеристики $P_{Э} = f(X_{Э})$ и $P_{Н} = f(X_{Н})$



Балансировочные кривые $P_{Э} = f(\gamma)$ в прямолинейном полете с креном и скольжением. (Летные испытания)

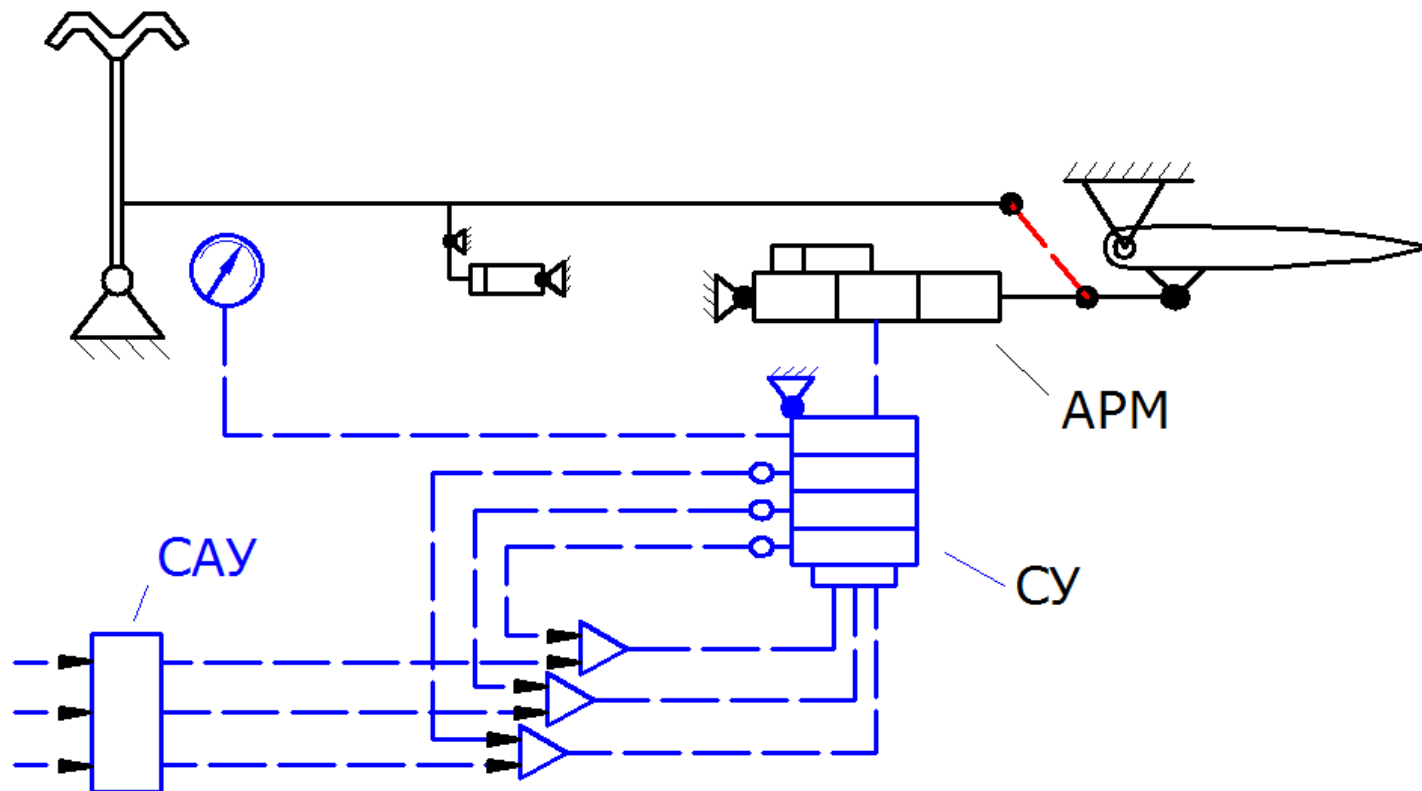


Пути модернизации системы управления Ил-76МД-90А



Электрогидромеханический привод с
механическим резервом

Пути модернизации системы управления Ил-76МД-90А

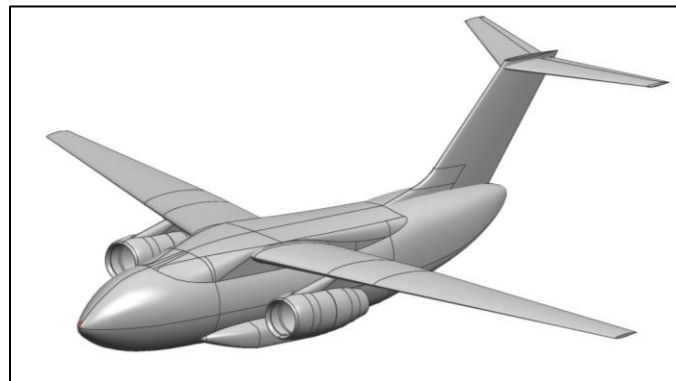


СДУ с механическим резервом и автономными приводами

Пути модернизации системы управления Ил-76МД-90А



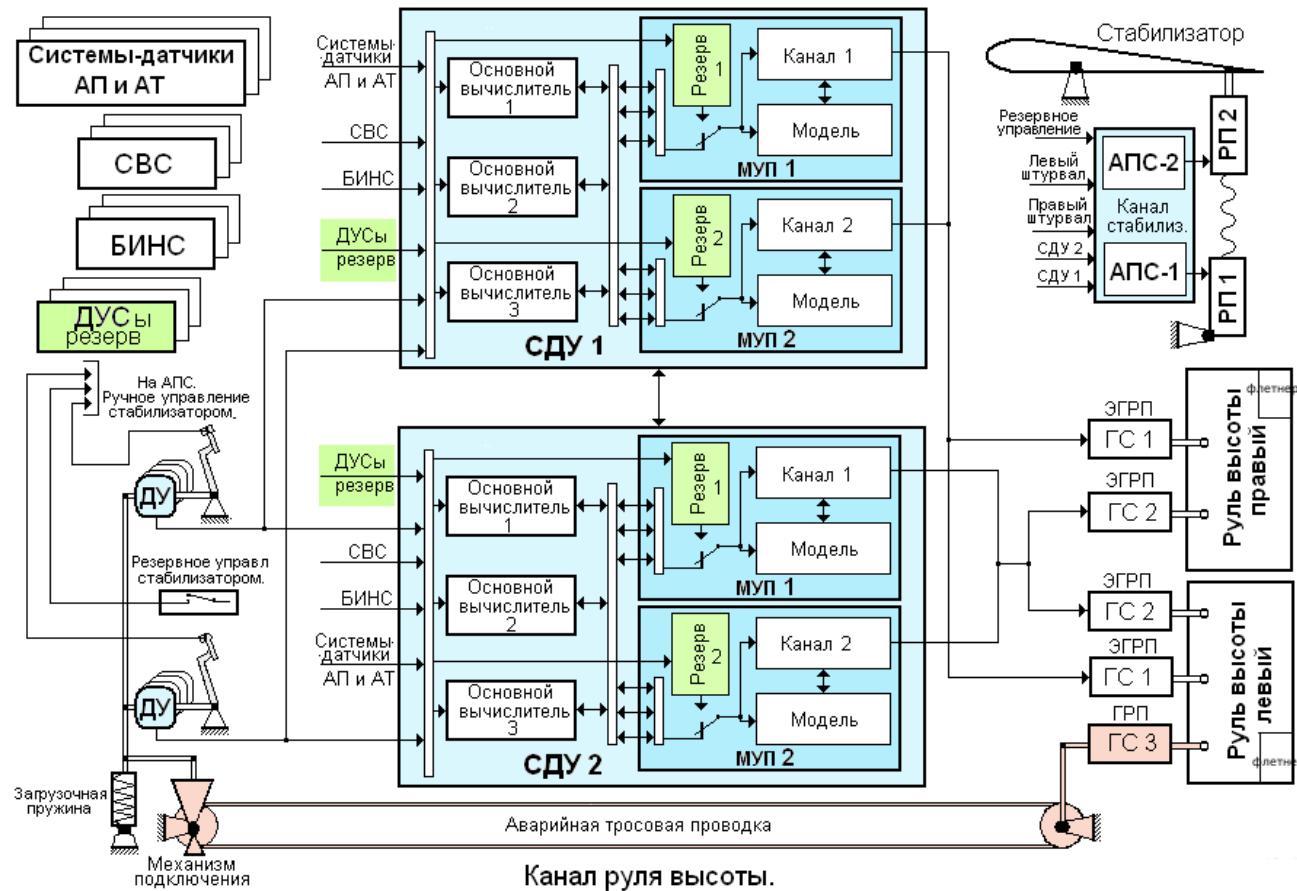
Ил-76МД-90А



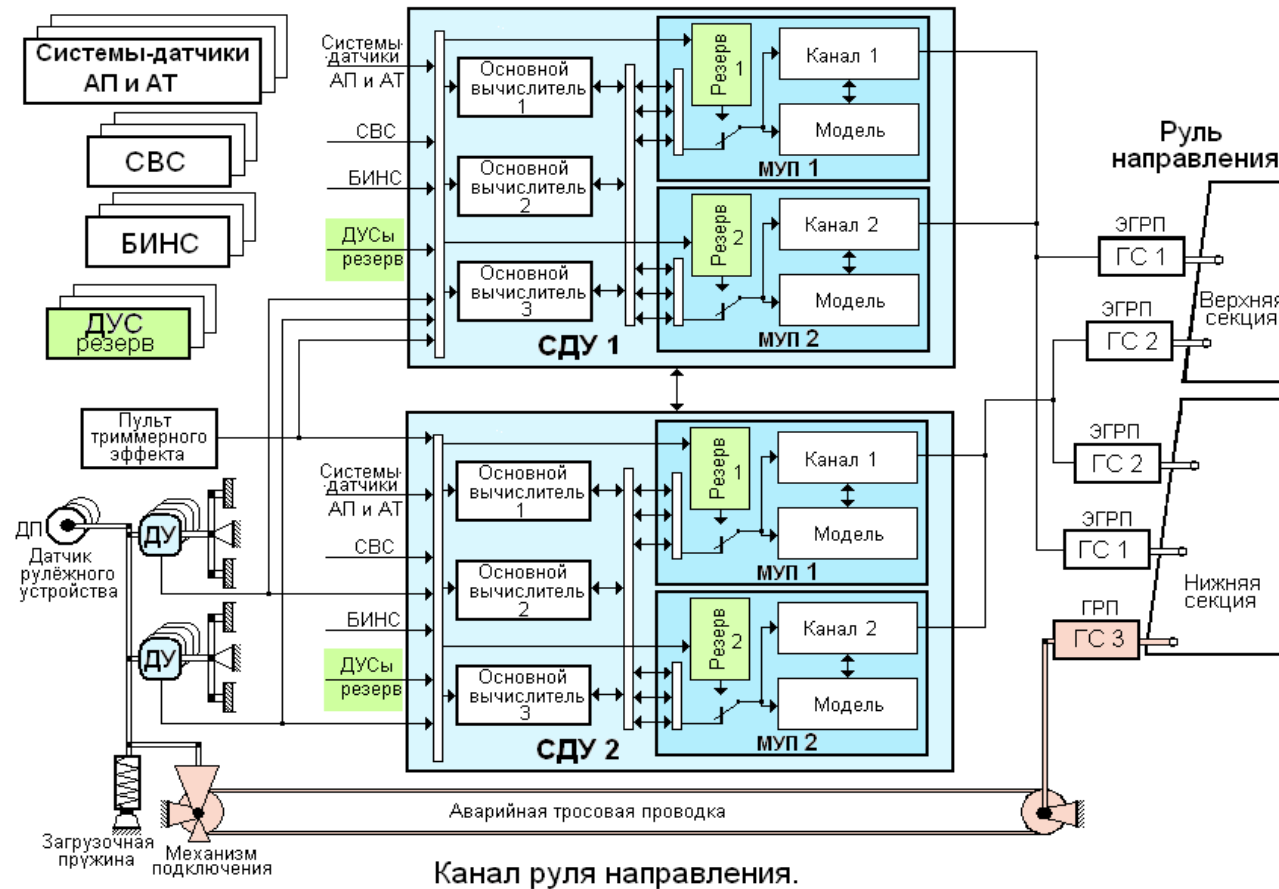
МТС

1. Исполнительные агрегаты – ЭГРП/ГМРП
2. Вычислительная часть
3. Структура алгоритмов функций СДУ
4. Унифицированный полунатурный стенд

Архитектурное построение системы управления ИЛ-76МД-90А

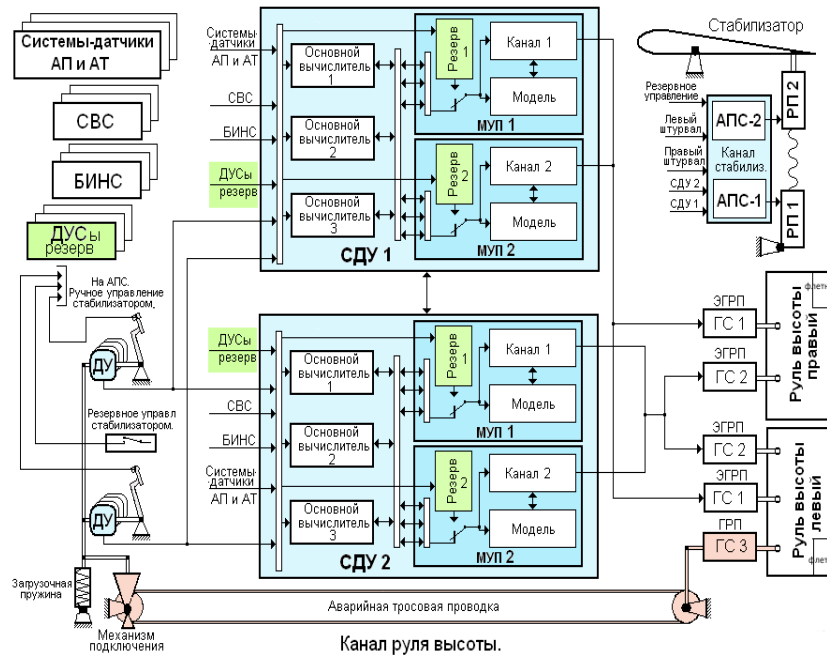
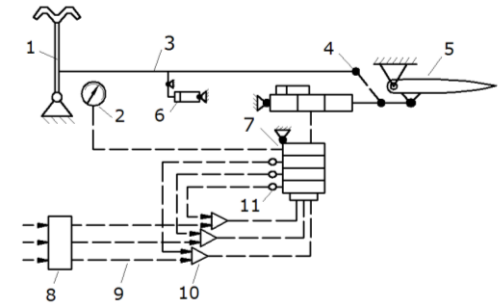
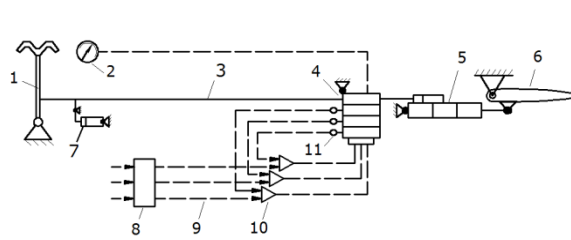
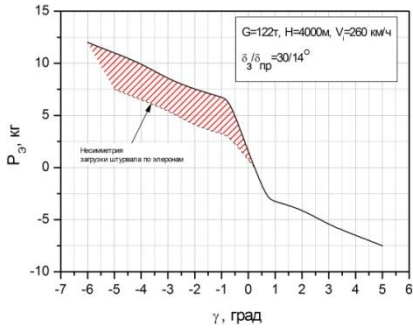


Архитектурное построение системы управления ИЛ-76МД-90А



Результаты

Балансировочные кривые $P_z=f(\gamma)$ в прямолинейном полете с креном и скольжением. (Летные испытания)



Спасибо за внимание!